# Auto-Calibração de Câmeras em Visão Estéreo

Israel de Morais Madalena, David Menotti

PPGCC - Programa de Pós-Graduação em Ciência da Computação

UFOP - Universidade Federal de Ouro Preto

Ouro Preto, Minas Gerais, Brasil

email: israellmorais@yahoo.com.br, menottid@gmail.com

Resumo—Este trabalho visa o estudo de métodos de calibração automática de uma única câmera e de câmeras utilizados em um sistema de Visão Estéreo. Esta auto-calibração tem a finalidade de reconstruir tridimensionalmente uma cena. A calibração de câmeras é necessária para se obter parâmetros que tornarão possível mapear coordenadas tridimensionais do mundo a partir de coordenadas bidimensionais de imagens. O primeiro método a ser estudado, o de uma única câmera, visa obter os parâmetros intrínsecos de uma câmera. Já o segundo tem como objetivo a obtenção de parâmetros extrínsecos de duas câmeras, o que permitirá a construção de um sistema de Visão Estéreo. Uma breve análises de complexidade de tempo é realizado sobre os dois métodos de calibração estudados, e também é exemplifica a forma de aplicação desses métodos.

Keywords-Auto-calibração, Visão Estéreo, Multi-Câmeras.

### I. INTRODUÇÃO

Visão estéreo é o ramo da visão computacional que analisa o problema da reconstrução da informação tridimensional de objetos a partir de um par de imagens capturadas simultaneamente, mas com um pequeno deslocamento [1]. O primeiro passo da visão estéreo é extrair características das imagens observadas por um par de câmeras e então, efetuar a fusão binocular das caracteristicas observadas pelas duas câmeras. Após isso, utiliza-se a informação do estágio anterior juntamente com os dados geométricos do sistema estéreo para recuperar a posição tridimensional do ponto no mundo, ou seja, a reconstrução da imagem 3D.

A visão estéreo é uma das principais informações de profundidade na visão do ser humano. Ela possui este nome por precisar do uso de ambos os olhos para formar tridimensionalmente a imagem. O olho esquero e o olho direito sempre vêem imagens diferentes, apesar de muito parecidas. A partir dessas diferenças, a noção de profundidade é construída pelo cérebro, levando ao entendimento do volume do que está sendo visto. Como exemplo, tem-se a Figura 1, onde podem-se fixar o olho direito na imagem da direita e o olho esquerdo na imagem da esquerda. Dessa forma, o nosso cérebro gera uma imagem tridimensional, passando-nos uma ideia de profundidade.

A partir de duas câmeras posicionadas de forma correta, com suas posições e direcionamentos conhecidos, é possível determinar a posição de qualquer ponto neste espaço, desde que este ponto possa ser localizado dentro de cada uma

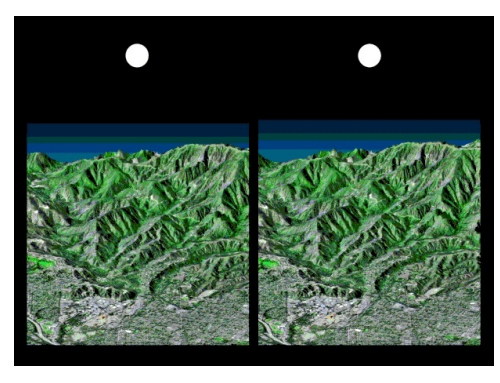


Figura 1: Visão Estéreo

das imagens capturadas pelas câmaras. Por isso, tornase necessário que haja uma região comum, de proporção razoável, aparecendo em ambas imagens. A determinação da posição de um ponto dentro deste espaço pode ser obtida por triangulação. *Stereopsis* é definido, em [1], como a capacidade de determinação de profundidade baseada na informação de um par estéreo.

A Figura 2 mostra um par de imagens estéreo. Já a Figura 3 exibe a triangulação utilizada para reconstruir geometricamente a imagem.



Figura 2: Par de Imagens Estéreo

Este sistema envolvendo múltiplas câmeras com sobreposição na área de observação está sendo utilizado em diversas aplicações de monitoramento de ambientes devido a sua confiabilidade e exatidão na contagem e identificação de objetos, além do barateamento de câmeras digitais e de toda a tecnologia que envolve a área.

Ao inicializar tais sistemas, faz-se necessário a calibração das câmeras para reconstruções precisas, visando por

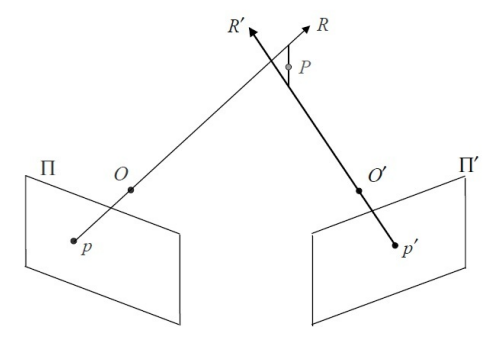


Figura 3: Triangulação

exemplo, a contagem de objetos. Na auto-calibração, não são usados objetos conhecidos previamente, pois é realizada apenas capturando-se diferentes imagens com uma câmera, de uma cena estática, sem alteração dos parâmetros intrínsecos dessa câmera. Após a captura, é feito a correspondência entre pontos presentes nestas imagens.

O restante do artigo está organizado da seguinte forma. A Seção II apresenta os parâmetros necessários para a calibração de câmeras. Os métodos estudados neste trabalho são descritos na Seção III, e suas análise de complexidades <sup>10</sup> são apresentadas na Seção IV. Os experimentos realizados para ilustrar o funcionamento dos métodos de calibração são descritos na Seção V, e finalmente, na Seção VI, as conclusões e trabalhos futuros são apontados.

# II. PARÂMETROS DE CALIBRAÇÃO DE CÂMERAS

[2] lista uma sequência de parâmetros internos de uma câmera que são definidos como parâmetros intrínsecos, dentre eles:

- Distância focal: A distância focal em pixels.
- Ponto principal: coordenadas do ponto principal.
- Coeficiente de inclinação: define o ângulo entre os eixos x e y do pixel.
- Distorções: coeficientes de distorção de imagem (radial e tangencial)

# A. Parâmetros intrínsecos

Seja P um ponto no espaço de coordenadas da matriz que representa uma imagem de referência da câmera. Considerando ainda que o ponto do plano imagem de acordo com os parâmetros intrínsecos  $(fc, cc, \alpha_c, kc)$ , tem-se uma projeção da imagem normalizada  $(x_n)$ , *i.e.*,

$$x_d = \begin{bmatrix} x_d(1) \\ x_d(2) \end{bmatrix} = (1 + kc(1)r^2 + kc(2)r^4 + kc(5)r^6)x_n + dx$$
(1)

onde

$$dx = \begin{bmatrix} 2kc(3)xy + kc(4)(r^2 + 2x^2) \\ kc(3)(r^2 + 2y^2) + 2kc(4)xy \end{bmatrix}$$
 (2)

é a matriz de distorção tangencial.

Uma vez que a distorção é aplicada, o pixel de coordenadas  $x\_pixel=[x_p,y_p]$  da projeção de P no plano imagem é

$$\begin{cases} x_p = fc(1)[x_d(1) + \alpha_c \times x_d(2)] + cc(1) \\ y_p = fc(2)x_d(2) + cc(2) \end{cases}$$
 (3)

e o pixel de coordenadas do vetor  $x\_pixel$  que é relacionado com o vetor  $x_d$ , *i.e.*,

$$KK = \begin{bmatrix} fc(1) & \alpha_c \times fc(1) & cc(1) \\ 0 & fc(2) & cc(2) \\ 0 & 0 & 1 \end{bmatrix}.$$
 (4)

O Programa 1 mostra a implementação da normalização, utilizada para se fazer o mapeamento inverso da imagem.

```
function [xn] = normalize(x_kk, fc, cc, kc, alpha_c)
if nargin < 5
   alpha_c = 0;
   if nargin < 4;
      kc = [0;0;0;0;0];
      if nargin < 3;
         cc = [0;0];
         if nargin < 2,
            fc = [1;1];
      end:
   end:
end:
x_distort = [(x_kk(1,:) - cc(1))/fc(1); (x_kk(2,:)
    - cc(2))/fc(2);
x_distort(1,:) = x_distort(1,:) - alpha_c *
    x_distort(2,:);
if norm(kc) \sim 0,
  xn = comp_distortion_oulu(x_distort, kc);
else
   xn = x_distort;
```

Programa 1: Normalize

#### B. Parâmetros extrínsecos

Os parâmetros extrínsecos fornecem a posição da origem do sistema de coordenadas da câmera em relação à origem das coordenadas do mundo. Os parâmetos extrínsecos são:

- Rotação: Um conjunto de matrizes de rotação 3x3.
- Translação: Um conjunto de vetores 3x1.

Para calibração dos parâmetros extrínsecos, pode-se considerar um grid de calibração como o apresentado na Figura 4, onde são montados os planos de coordenadas de referência O(X,Y,Z).

Então, seja P um ponto de coordenadas espaço vetorial XX = [X,Y,Z] no quadro de referência e  $XX_c = [X_c,Y_c,Z_c]$  o vetor de coordenadas de P no referencial da câmera, tem-se que XX e  $XX_c$  serão relacionados uns aos outros por meio da equação  $XX_c = Rc_l * XX + Tc_l$ .

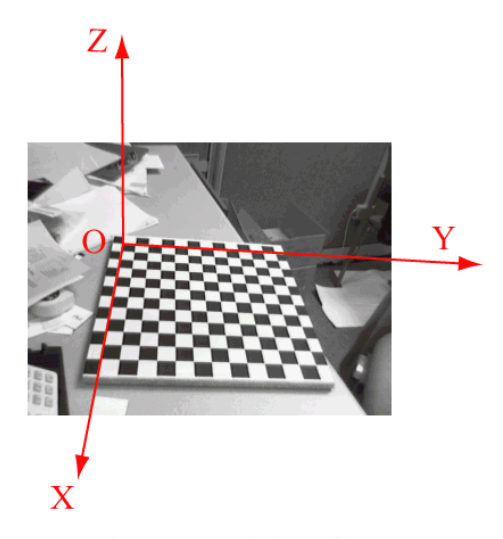


Figura 4: Grid de Calibração

O vetor  $Tc_l$  é o vetor de coordenadas da origem do padrão do grid (O) no quadro de referência. A terceira coluna da matriz  $Rc_l$  é o vetor normal à superfície do plano que contém a grade planar. Esta mesma relação vale para todos os parâmetros extrínsecos.

Uma vez que as coordenadas de um ponto são expressas no *grid* de referência da câmera, o ponto pode ser projetado sobre o plano da imagem usando os parâmetros intrínsecos da câmera.

#### III. MÉTODOS

Nesta seção, dois métodos de calibração de câmeras são descritos.

# A. Calibração de uma Câmera

O primeiro método a ser analisado é o proposto por [3], [4], que propõe a calibração de uma câmera usando a observação de um padrão planar mostrado em orientações diferentes. Pode-se escolher a movimentação da câmera ou do padrão planar, o qual não precisa ser reconhecido. O procedimento proposto consiste em uma solução de forma fechada, seguida de um refinamento não-linear com base no critério de máxima verossimilhança. Este método proposto por [3], [4] determina a calibração de uma câmera utilizando-se de um tabuleiro de xadrez, onde deve-se iden- 10 tificar seus cantos em uma imagem e calcula-se toda a divisão do tabuleiro. Caso haja algum valor errado, ou canto mal detectado, insere-se no parâmetro de calibração o erro encontrado e uma nova calibração é efetuada. Dessa forma, 15 o programa de calibração visa a representatividade de uma imagem 3D em uma imagem 2D, sendo que a imagem 3D é identificada por M = [X, Y, Z] e a imagem 2D é denotada por m = [u, v]. A câmera é representada por

$$s\tilde{m} = A \begin{bmatrix} R & t \end{bmatrix} \tilde{M},$$
 (5)

onde os valores R e t representam os parâmetros extrínsecos do sistema de coordenadas da câmera, e A representa a matrix intrínseca da câmera

$$A = \begin{bmatrix} \alpha & \gamma & u_0 \\ 0 & \beta & v_0 \\ 0 & 0 & 1 \end{bmatrix}.$$
 (6)

onde  $(u_0, v_o)$  são as coordenadas do ponto principal e  $\alpha$  e  $\beta$  são os fatores escalares na imagem sobre os eixos u e v.  $\gamma$  representa o parâmetro de assimetria dos dois eixos. A Figura 5 exibe um conjunto de imagens que podem ser utilizadas neste processo de calibração.

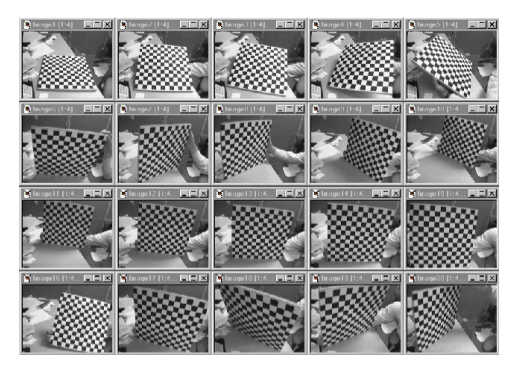


Figura 5: Imagens planares

O problema colocado por Zhang [3], [4] solicita somente a identificação por parte do usuário do erro visualizado. O programa realiza também a contagem automática dos quadrados, não sendo necessário a inserção pelo usuário da quantidade dos mesmos. A etapa de calibração consiste em dois passos, sendo a inicialização e a otimização não-linear.

A inicialização calcula uma solução de forma fechada para os parâmetros de calibração, não incluindo a distorção da lente, o que nos mostra o Programa 2.

```
if ~exist('two_focals_init'),
    two_focals_init = 0;
end;

if ~exist('est_aspect_ratio'),
    est_aspect_ratio = 1;
end;

check_active_images;

if ~exist(['x_' num2str(ind_active(1))]),
    click_calib;
end;

fprintf(1,'\nInitialization of the intrinsic
    parameters - Number of images: %d\n',length(ind_active));

for kk = 1:n_ima,
    eval(['x_kk = x_' num2str(kk) ';']);
    eval(['X_kk = X_' num2str(kk) ';']);
    if (isnan(x_kk(1,1))),
```

```
if active_images(kk),
                                                                       c3 = V_diagl_pix(3);
                fprintf(1, 'WARNING: Cannot calibrate
                     with image %d. Need to extract
                                                                       a4 = V_diag2_pix(1);
                     grid corners first.\n',kk)
                                                                       b4 = V_diag2_pix(2);
                                                                       c4 = V_diag2_pix(3);
                                     Set active_images
                fprintf(1.
                    (%d)=1; and run Extract grid
                     corners.\n',kk)
                                                                       A_k = [a1*a2 b1*b2;
                                                                            a3*a4 b3*b4];
25
            end:
            active_images(kk) = 0;
       end:
                                                                       b_k = -[c1*c2; c3*c4];
        if active_images(kk),
            eval(['H_' num2str(kk) ' =
                compute_homography(x_kk, X_kk(1:2,:)); '
                                                                       A = [A; A_kk];
                                                                       b = [b; b_k k];
30
            eval(['H_']' num2str(kk))' = NaN*ones(3,3);'
                                                                   end;
                1);
       end:
                                                               end:
   end:
   check_active_images;
                                                               % use all the vanishing points to estimate focal
                                                                   length:
   % initial guess for principal point and distortion
                                                               % Select the model for the focal. (solution to
   if \sim exist('nx'), [ny,nx] = size(I); end;
                                                                   Gerd's problem)
                                                               if ~two_focals_init
40
   c_{init} = [nx; ny]/2 - 0.5; \% initialize at the
                                                                   if b'*(sum(A')') < 0,
        center of the image
                                                                       two_focals_init = 1;
   k_{init} = [0;0;0;0;0]; \% initialize to zero (no
                                                                   end;
        distortion)
                                                               end;
   A = [];
   b = [];
45
                                                               if two_focals_init
   % matrix that subtract the principal point:
                                                                   % Use a two focals estimate:
                                                                   f_{init} = sqrt(abs(1./(inv(A'*A)*A'*b))); \% if
   Sub\_cc = [1 \ 0 \ -c\_init(1); 0 \ \hat{1} \ -c\_init(\hat{2}); 0 \ 0 \ 1];
                                                                        using a two-focal model for initial guess
   for kk=1:n_{ima},
                                                               else
                                                                   % Use a single focal estimate:
                                                                   f_{init} = sqrt(b'*(sum(A')') / (b'*b)) * ones
        if active_images(kk),
                                                                        (2,1); % if single focal length model is
            eval(['Hkk = H_'] num2str(kk)';']);
                                                                        used
                                                               end:
            Hkk = Sub_cc * Hkk;
            % Extract vanishing points (direct and
                                                               if ~est_aspect_ratio,
                                                                   f_{init}(1) = (f_{init}(1)+f_{init}(2))/2;
                diagonals):
                                                                   f_{init}(2) = f_{init}(1);
            V_{hori_pix} = Hkk(:,1);
                                                               end:
60
            V_{vert_pix} = Hkk(:,2);
            V_{diag1_pix} = (Hkk(:,1) + Hkk(:,2))/2;
                                                               alpha_init = 0;
            V_{diag2_pix} = (Hkk(:,1)-Hkk(:,2))/2;
                                                               %f_{init} = sqrt(b'*(sum(A')') / (b'*b)) * ones(2,1)
            V_hori_pix = V_hori_pix/norm(V_hori_pix);
V_vert_pix = V_vert_pix/norm(V_vert_pix);
                                                                   ; % if single focal length model is used
65
            V_{diag1_pix} = V_{diag1_pix/norm}(V_{diag1_pix})
                                                               % Global calibration matrix (initial guess):
            V_{diag2_pix} = V_{diag2_pix}/norm(V_{diag2_pix})
                                                               KK = [f_{init}(1) \ alpha_{init}*f_{init}(1) \ c_{init}(1);0
                );
                                                                   f_init(2) c_init(2); 0 0 1];
                                                               inv_KK = inv(KK);
            a1 = V_hori_pix(1);
70
            b1 = V_hori_pix(2);
            c1 = V_hori_pix(3);
                                                               cc = c_init;
            a2 = V_vert_pix(1);
                                                               fc = f_init;
            b2 = V_vert_pix(2);
75
                                                               kc = k_init;
            c2 = V_vert_pix(3);
                                                               alpha_c = alpha_init;
            a3 = V_diagl_pix(1);
                                                               fprintf(1, '\n\nCalibration parameters after
            b3 = V_diag1_pix(2);
```

```
initialization:\n\n');

fprintf(1,'Focal Length: fc = [ %3.5f %3.5f ]\n', fc);

fprintf(1,'Principal point: cc = [ %3.5f %3.5f ]\n', cc);

fprintf(1,'Skew: alpha_c = [ %3.5f ]

=> angle of pixel = %3.5f degrees\n', alpha_c
,90 - atan(alpha_c)*180/pi);

fprintf(1,'Distortion: kc = [ %3.5f %3.5f %3.5f %3.5f %5.5f ]\n', kc);
```

Programa 2: Inicializa a Calibração dos Parâmetros

A etapa de otimização não-liniar minimiza o erro total, no sentido dos mínimos quadrados, sobre todos os parâmetros de calibração. A otimização é feita usando o cálculo do gradiente sob matriz Jacobiana, o que pode-se ver em no Programa 3.

```
if \sim exist('n_ima'),
      data_calib; % Load the images
      click_calib; % Extract the corners
   end:
   check_active_images;
   check_extracted_images;
   check_active_images;
   desactivated_images = [];
   recompute_extrinsic = (length(ind_active) < 100);
       % if there are too many images, do not spend
       time recomputing the extrinsic parameters
       twice ...
   if ~exist('rosette_calibration', 'var')
       rosette_calibration = 0;
15
   end:
   if (rosette_calibration)
     est_dist = ones(5,1);
   end:
   go_calib_optim_iter;
   if ~isempty(desactivated_images),
      param_list_save = param_list;
25
      fprintf(1, '\nNew optimization including the
          images that have been deactivated during
          the previous optimization.\n');
      active_images(desactivated_images) = ones(1,
          length(desactivated_images));
      desactivated_images = [];
      go_calib_optim_iter;
      if ~isempty(desactivated_images),
         fprintf(1,['List of images left desactivated
                  num2str(desactivated_images) '\n' ]
      end;
      param_list = [param_list_save(:, 1:end-1)]
           param_list];
   end:
```

Programa 3: Otimização a não-linear

# B. Calibração de Múltiplas Câmeras

O modelo proposto por Svoboda et al. [5] é a calibração de um sistema de visão estéreo, usando a adequação

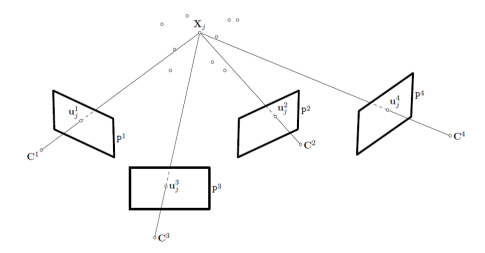


Figura 6: Sistema Multi-Câmera

dos parâmetros intrínsecos e extrínsecos e utilização destes resultados para retificação da imagem e triangulação estéro 3D. [5] utiliza o princípio da detecção de um ponto comum em ambas imagens para então extrair os parâmetros que serão avaliados e comparados, originando os valores para a calibração dos parâmetros da câmera. Neste modelo, pode-se utilizar um ponto brilhante ou um ponto em que se destaque e esteja presente em todas as câmeras, para que, a imagem seja reconstruída. A Figura 6 exibe um sistema multi-camera e uma imagem, a qual o ponto  $X_j$ representa o ponto na cena que tem que ser comum a todas as câmeras. A quantidade de câmeras no sistema de visão estéreo depende na representatividade que se quer obter da cena. Por exemplo, se deseja obter todos os pontos do corpo humano, quanto maior o número de câmeras utilizadas, mais preciso será a representação requerida.

Para utilizar o método proposto por Svoboda *et al.* [5], é necessário somente a matriz de dados *W* contendo os pontos da imagem. Essa matriz pode conter alguns pontos diferentes, porém, quanto mais completa, mais precisa e estável será a calibração. Após a obtenção dessa matriz, procura-se os pontos semelhantes nas outras matrizes, o que é chamado de correspondência.

Então, este modelo pode ser executado nos seguintes passos:

- Encontrar o ponto comum nas imagens.
- Descartar pontos detectados incorretamente.
- Estimar os pontos perdidos.
- Otimizar a estrutura se necessário.
- Realizar a classificação e fatoração da matriz.
- Atualizar as matrizes usando o método euclidiano.
- Detectar pontos incorretos e realizar a correção destes.
- Estimar os parâmetros de distorção não-linear

Na Figura 7, ilustra-se o processo de calibração de 2 câmeras utilizando-se o método proposto em [5].

### IV. ANÁLISE DE COMPLEXIDADE

Nos métodos [3], [4] e [5] que foram analisados, a complexidade varia conforme o número de imagens existentes

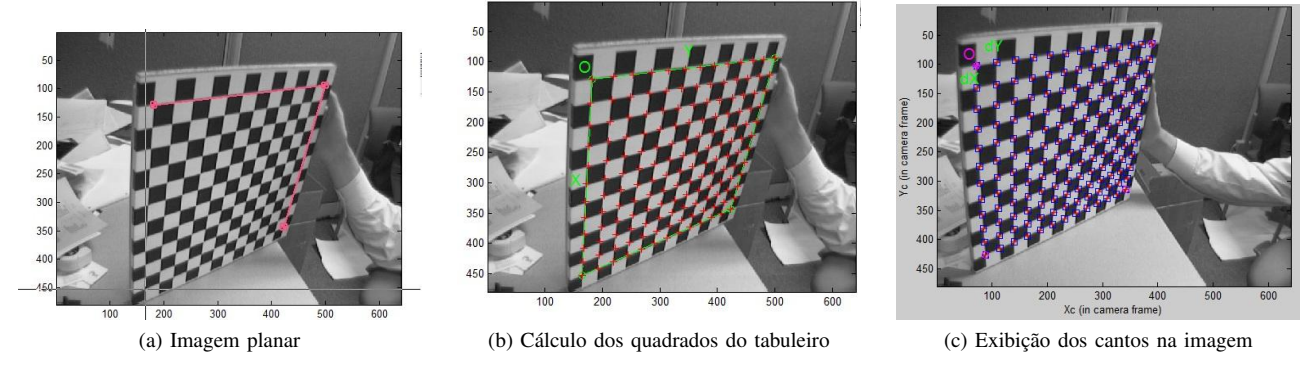


Figura 8: Calibração da Câmera - Sequência de Imagens

```
fc = [ 630.45285 626.06099 ] ± [ 4.50475 4.14859 ]
Focal Length:
             cc = [ 298,91927 237,64385 ] ± [ 7.60724 7.33838 ]
Principal point:
Skew.
         alpha_c = [ 0.00000 ] ± [ 0.00000 ]
                                \Rightarrow angle of pixel axes = 90.00000 \pm 0.00000 degrees
            Distortion:
Pixel error:
            err = [ 0.71770     0.68640 ]
                        (a) Parâmetros intrínsecos de uma única câmera
Intrinsic parameters of left camera:
        Focal Length:
Principal point:
            Distortion:
Intrinsic parameters of right camera:
       Focal Length:
Principal point:
Distortion:
            Extrinsic parameters (position of right camera wrt left camera):
                Translation vector:
                T = [ -99.84929  0.82221  0.43647 ]
                               (b) Antes da calibração
Intrinsic parameters of left camera:
       Focal Length:
Principal point:
            a_c_left = [ 0.00000 ] ± [ 0.00000 ] => angle of pixel axes = 90.00000 ± 0.00000 degrees
kc_left = [ -0.28838    0.09714    0.00109    -0.00030    0.00000 ] ± [ 0.00621    0.02155    0.00028    0.00034    0.00000 ]
Skew:
Intrinsic parameters of right camera:
Focal Length:
           Skew:
Distortion:
Extrinsic parameters (position of right camera wrt left camera):
                Rotation vector:
Translation vector:
                                (c) Após a calibração
```

Figura 9: Parâmetros obtidos no processo de calibração

para processamento.

O método proposto em [3], [4] possui uma complexidade de tempo de execução de f(n) = 2O(n), onde tem-se duas estruturas de repetição for, sendo uma para a identificação dos cantos da imagem e outra para o cálculo dos parâmetros

intrínsecos e extrínsecos.

Já o modelo proposto em [5] possui uma complexidade de tempo  $f(n)=100O(n^2)$ , sendo que a constante 100 é o número máximo de iterações que o método é executado, lembrando que é feito o cálculo do gradiente juntamente

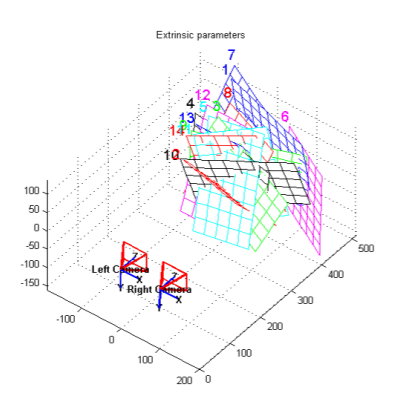


Figura 7: Visão Multi-Câmera

com as matrizes jacobianas. Dentro deste *loop* também há 2 estruturas for, as quais são responsáveis pelo cálculo dos parâmetros intrínsecos e extrínsecos respectivamente.

### V. EXPERIMENTOS

Para o método de [3], [4] foram utilizadas 20 imagens contendo o tabuleiro de xadrez visto de diversas perspectivas e posições. Para a efetividade do método, identifica-se os 4 cantos do tabuleiro clicando-se com o *mouse* sobre a imagem. Após isso, o programa conta automaticamente os quadrados existentes no tabuleiro e traça a perspectiva dos demais para que o usuário veja se está corretamente alinhado ou não. Após a análise do usuário, aceita-se o resultado exibido ou não. Caso seja reprovado, o usuário pode inserir em milímetros a proporção de distorção da imagem.

A seguir tem-se uma sequência de imagens que compõem a execução do programa para calibração da câmera. Na Figura 8a, observa-se a imagem preparada para a identificação dos cantos. Já a Figura 8b exibe a projeção dos demais pontos. A Figura 8c exibe a consolidação dos cantos na imagem após n imagens processadas, enquanto a Figura 10 ilustra a câmera fixa e as projeções das n imagens. Concluindo, a Figura 11 exibe os erros encontrados para análise do usuário. Os valores obtidos para a calibração intrínseca da câmera podem ser vistos na Figura 9a.

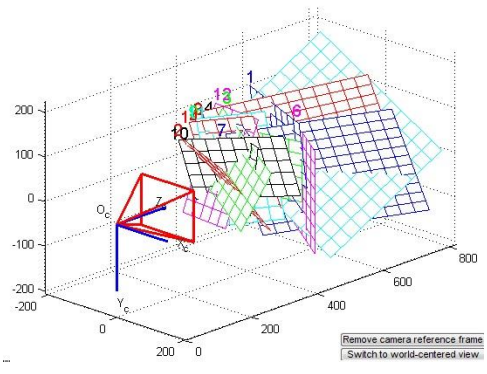


Figura 10: Visão da câmera

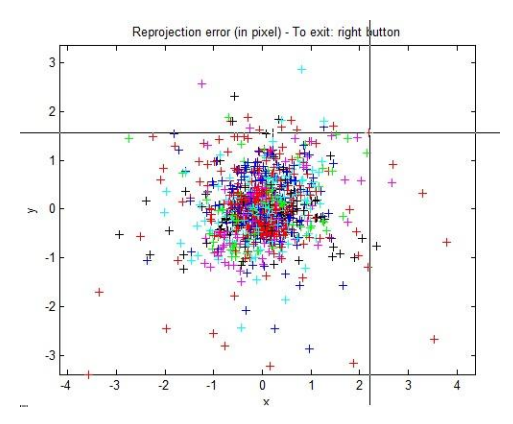


Figura 11: Gráfico de erros

Para o modelo proposto em [5], a realização dos experimentos e testes dependem dos resultados previamente calculados, podendo-se aproveitar dos resultados obtidos do método de [3], [4]. Portanto, como primeiro passo neste experimento, deve-se carregar os parâmetros extrínsecos e intrínsecos previamente, o que pode-se observar na Figura 9b. Após isso, o programa calcula automaticamente usando 14 imagens da câmera direita e 14 da câmera esquerda os novos parâmetros de calibração extrínsecos e intrínsecos. Na Figura 9c, visualiza-se o resultado obtido para a calibração na visão estéreo e na Figura 12 ilustra-se se os parâmetros extrínsecos originados de cada imagem na calibração.

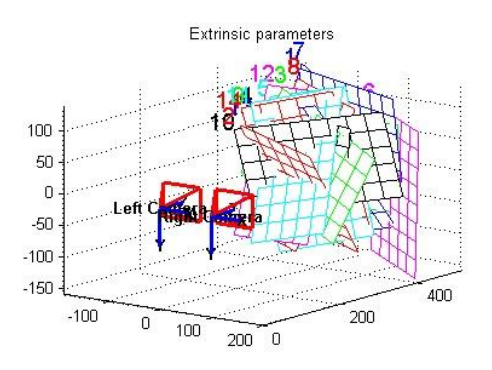


Figura 12: Parâmetros extrínsecos

Após a execução desses passos, têm-se os parâmetros de calibração das câmeras direita e esquerda, possibilitando a refatoração das imagens, dando ao cenário uma visão 3D.

#### VI. CONCLUSÕES

Visão Estéreo é um campo dentro da área de visão computacional importante para a representação tridimensional de uma cena. Neste sentido, torna-se importante a precisão e confiabilidade do sistema.

Esta confiabilidade e precisão são melhoradas por meio de calibração das câmeras, reduzindo assim o percentual de erro do resultado obtido. Apresentou-se os métodos de Zhang [3], [4] e Svoboda *et al.* [5] para calibração de câmeras, os quais

diferem no modo de calibração e na quantidade de câmeras utilizadas.

O método proposto por Zhang [3], [4] efetua a calibração individual da câmera usando a detecção de cantos em uma imagem planar. Utilizou-se para exemplificar o uso deste método imagens de um tabuleiro de xadrez.

Svoboda *et al.* [5] propôs a calibração de sistemas multicâmeras usando a detecção de um ponto principal em uma sequência de imagens, onde este ponto tem que ser comum em todas as imagens.

Outra diferença entre os dois métodos é o tempo de execução, sendo que o método baseado na detecção de cantos [3], [4] executa com um tempo de 2O(n) e o proposto por Svoboda *et al.* [5] executa em  $100O(n^2)$ .

Percebe-se que apesar de ser mais rápido, o método de calibração utilizando a detecção de cantos pode ser falho ao ponto do usuário ter que interagir com o sistema mostrando os cantos principais e inserindo alguns parâmetros. Já o método de Svoboda *et al.* [5] utiliza dados previamente carregados e efetua a calibração automática dos parâmetros extrínsecos e intrínsecos da câmera.

#### REFERÊNCIAS

- E. Trucco and A. Verri, Introductory Techniques for 3D Computer Vision, 1st ed. Prentice Hall, 1998, iSBN: 978-0132611084.
- [2] H. Heikkila and O. Silven, "A four-step camera calibration procedure with implicit image correction," in *IEEE Internatio*nal Conference on Computer Vision and Pattern Recognition, 1997, pp. 1106–1112.
- [3] Z. Zhang, "A flexible new technique for camera calibration," Microsoft Research, Microsoft Corporation, Technical Report MSR-TR-98-71, 1998. [Online]. Available: http://reserach. microsoft.com/~zhang
- [4] ——, "A flexible new technique for camera calibration," *IEEE Transactions on Pattern Analysis and Machine Intelligence*, vol. 22, no. 11, pp. 1330–1334, 2000.
- [5] T. Svoboda, D. Martinec, and T. Padjla, "A convenient multicamera self-calibration for virtual environments," Center for Machine Perception, Department of Cybernetics, Faculty of Eletrical Engineering, Czech Technical University, Technical Report, 2005. [Online]. Available: ftp://cmp.felk.cvut.cz/pub/ cmp/articles/svoboda/svobodaPRESENCE2005.pdf